

الگوی دگرشکلی در زاگرس مرتفع باختری

نوشته: زمان ملکزاده^{*}, محمد رضا عباسی^{**}, اولیویه بله^{***}, کریستین اووه مهیو^{***} و اسماعیل شبانیان^{*}

^{*}دانشگاه پیام نور ساری، ساری، ایران.

^{**}پژوهشگاه بین المللی زلزله شناسی و مهندسی زلزله، تهران، ایران.

^{***}دانشگاه پل سزان، مارسی، فرانسه.

Deformation Pattern in Western High Zagros

By: Z. Malekzadeh^{*}, M. R. Abbassi^{**}, O. Bellier^{***}, C. Authemayou^{***}& I. Shabanian^{***}

^{*}Payam-e-Nour university of Sari, Sari, Iran

^{**}International Institute of Earthquake Engineering and Seismology, Tehran, Iran.

^{***}Paul Cezanne University, France

تاریخ دریافت: ۱۳۸۵/۰۹/۲۱ تاریخ پذیرش: ۱۳۸۶/۰۸/۰۵

چکیده

این مطالعه ناحیه بین $^{\circ} 30-51$ در امتداد کمربند چین خورده و رانده زاگرس را در بر می گیرد. الگوی دگرشکلی در کمربند زاگرس مرتفع به خاطر همگرایی مورب صفحه عربی نسبت به ایران مرکزی به صورت تسهیم کرنش کامل (Complete strain partitioning) مطرح شده است. در این الگو گسل عهد حاضر زاگرس (MRF) در حاشیه شمالی کمربند، از نظر سینماتیکی تمام مؤلفه جابه جایی به موازات کمربند ناشی از حرکت مورب صفحه عربستان را جذب می کند و گسل زاگرس مرتفع (HZF) به همراه دیگر گسل‌ها و چین خوردگی‌ها، پذیرای مؤلفه عمود بر کوهزاد جابه جایی در این حرکت است. با استفاده از وارون سازی خط لغزش‌هایی که اغلب بر صفحات گسلی که رسوبات جوان کنگلومراي بختیاری را در امتداد گسل زاگرس مرتفع متأثر ساخته، نقش بسته، تنسور تنش و شکل نسبی بیضوی تنش (R) در ۲۹ ایستگاه محاسبه شده است. شواهد زمین‌ریختی و سینماتیک گسل نشان دهنده آن است که بخش اعظم گسل زاگرس مرتفع دارای مؤلفه امتداد لغز است. بر اساس این سینماتیک، گسل زاگرس مرتفع نیز در انتقال دگر شکلی مؤلفه موازی کوهزاد زاگرس مشارکت می کند. در نتیجه ساز و کار جدید تشخیص داده شده، تسهیم کرنش از نوع بخشی (Partial strain partitioning) را برای زاگرس مرتفع باختری پیشنهاد می کند. انتقال دگر شکلی مؤلفه موازی کوهزاد توسط گسل عهد حاضر و زاگرس مرتفع، ممکن است دلیلی موجه برای کاهش آهنگ لغزش در امتداد گسل عهد حاضر پس از سازماندهی دوباره برخورد مورب صفحه عربستان باشد.

کلید واژه‌ها: زاگرس، گسل عهد حاضر، تسهیم کرنش، همگرایی مورب، گسل زاگرس مرتفع، خشن لغز

Abstract

The present study covers the area between 500E to 510, 30'E of the Zagros Fold-and-Thrust Belt. The deformation pattern of west High Zagros Belt (HZB) has been considered to reflect a complete strain partitioning due to the Arabian oblique plate convergence and Central Iran. In this context the NW-SE trending Main Recent Fault (MRF) acts as rear boundary of the belt, kinematically taking up the strike-parallel component of oblique plate motion of Arabia, whereas the High Zagros Fault (HZF) with the same fault trend as MRF accommodates the orogen-normal shortening due to this movement. Using fault-slip inversion on fault planes mostly affecting the Bakhtiari conglomerate (Plio-Pleistocene in age) along the HZB, the deviatoric stress tensor and its shape factor (R) calculated at 29 stations. The geomorphic evidences and the fault kinematics show that the major parts of the HZF are consistent with strike-slip kinematics. This implies that the HZF also accommodates some part of strike-parallel



component of oblique convergence collision.

Keywords: Zagros, Main Recent Fault, Strain partitioning, Oblique convergence, High zagros Fault, Fault slip

مقدمه

و فقط به مطالعات گذشته (Berberian, 1995) که در آن با توجه به شواهد ریخت-زمین ساختی به آنها به عنوان گسل راندگی نگریسته، بسنده شده است. این مطالعه تلاشی است برای شناخت بیشتر ماهیت گسل‌های موجود در پهنه زاگرس مرتفع با تأکید بر روی سامانه گسلی زاگرس مرتفع (HZF)، در بخش باختری گسل کازرون. در این مطالعه، نشان داده خواهد شد که گسل‌های مذکور دست کم در محدوده مطالعاتی دارای سازوکار راندگی محض نبوده و در بخش‌های عمدۀ این سامانه گسلی حرکات امتداد لغز محض و حرکات ترافارشارشی (Transpressional) حاکم است. در این مطالعه برای شناخت رژیم زمین ساختی حاکم بر منطقه زاگرس مرتفع از مطالعه Carey (fault-slip inversion) که نخستین بار توسط (1979) در قالب یک برنامه نرم‌افزاری ارائه شده، استفاده شده است. همچنین استفاده از تصاویر ماهواره‌ای لندست و اسپات برای نشان دادن شواهد زمین‌ریختی (مانند انحراف آبراهه‌ها، مخروط افکنه‌ها و پشت‌ها) و مشاهدات صحرایی نیز مکمل دادهای فوق خواهد بود. نتیجه نهایی این مقاله، ارائه و پیشنهاد مدل تازه‌ای از زمین ساخت باختر زاگرس است که در آن به جای تسهیم کرنش کامل (Complete Strain Partitioning) تسهیم بخشی کرنش (Partial Strain Partitioning) مورد نظر است (شکل ۱).

زمین پویایی منطقه (Geodynamics)

تکوین زاگرس و آغاز بسته شدن نوتیس (فرانش افیولیت‌ها) را به کرتاسه پسین نسبت می‌دهند (Berberian and King, 1981; Alavi, 1994). بسته شدن نهایی و برخورد صفحه عربستان را با ایران مرکزی از ۳۵ تا ۱۰ میلیون سال پیش (الیگو-میوسن) گسترش می‌دهند (Stonley, 1981). از این حادثه تا مرحله‌ای که به عنوان سازماندهی دویاره (Reorganization) حرکت این صفحه نسبت به اوراسیا نامیده می‌شود ۵⁺² Ma (Westaway et al., 1994; Allen et al., 2004) وضعیت زمین ساختی در حال سکونی حکم‌மابوده است و با وجودی که جهت حرکت صفحه عربستان از ۱۹ میلیون سال پیش تا کنون به سمت ایران مرکزی تغییر چندانی نکرده است (McQuarrie et al., 2003) (به نظر می‌رسد که تغییر رژیم زمین ساختی از شرایط راندگی (وضعیتی که گسل اصلی راندگی زاگرس فعال بوده است) تا وضعیتی که تسهیم کرنش به عنوان سامانه زمین ساختی

زاگرس مرتفع بازیکه‌ای از کمریند راندگی زاگرس در جنوب باختر ایران است که عرض آن به ۸۰ کیلومتر می‌رسد. این منطقه از شمال به گسل راندگی اصلی زاگرس (Main Zagros Thrust Fault, MZTF) و از جنوب به گسل زاگرس مرتفع (HZF) محدود می‌شود (Berberian, 1995). از نظر ارتقایی، بلندترین قسمت زاگرس محاسب شده و در بخش‌هایی از این نوار با دگر شکلی زیاد، فعالیت لرزه‌ای نسبت به دیگر بخش‌هایی بیشتر است. در بخش باختری زاگرس مرتفع (MZTF) یعنی باختر گسل شمالی-جنوبی کازرون (شمال حوضه دزفول)، گسل فعال دیگری باسازو کار امتداد لغز راست گردید به نام گسل اصلی عهد حاضر زاگرس (Zagros Main Recent Fault, MRF) (Tchalenko & Braud, 1974) که به موازات و مجاور گسل راندگی اصلی زاگرس بوده و از نظر لرزه‌ای از جمله گسل‌های پر مخاطره به شمار می‌آید (شکل ۱). برای مثال فعالیت این گسل مسبب زمین لرزه دینه ور (1909.01.23) با بزرگای $M_s=6.7$ و زمین لرزه دورود (1957.12.13) با بزرگای $M_s=7.4$ هر دو با ساز و کار امتداد لغز راست گردیده است. گسل عهد حاضر در بعضی از مناطق گسل راندگی اصلی زاگرس را قطع می‌کند. در تازه‌ترین مطالعات انجام شده (Blanc et al., 2003; Talebian and Jackson, 2004; Authemayou et al., 2006) از گسل عهد حاضر (strain partitioning) زاگرس به عنوان محصول فرایند تسهیم کرنش (strain partitioning) یاد شده است. در این مدل همگرایی مورب صفحه عربستان به سمت ایران مرکزی به دو مؤلفه موازی کمریند چین خورده و راندگی زاگرس و عمود بر آن تقسیم می‌شود. در این مدل زمین ساختی گسل عهد حاضر در پاسخ به مؤلفه امتداد لغزی و گسل‌های راندگی و چین خورده‌گی‌های فعل در واکنش به مؤلفه عمودی شکل گرفته است. بنابر این گسل‌هایی مانند زاگرس مرتفع (HZF) و گسل جبهه کوهستانی (Mountain Frontal Fault, MFF) در این مدل دارای ساز و کار راندگی محض خواهند بود. با توجه به مطالعات انجام شده (که بخشی از مطالعه حاضر را هم شامل می‌شود) ساز و کار گسل عهد Baker et al., 1993; Sepehr and Casgrov, 2005; Authemayou et al., 2006; Yaminifard et al., 2006) و شواهد موجود نشان دهنده وجود ساز و کار تسهیم کرنش در این پهنه گسلی است. اما هیچ شواهدی دال بر وجود ساز و کار راندگی محض درباره گسل زاگرس مرتفع (HZF) و گسل جبهه کوهستانی (MFF) ارائه نشده

می کند و بالاخره نمودارهای مربوطه (صفحات گسل در شبکه اشمیت)، بازتاب شده است. یکی از کاربردهای اساسی و مهم پارامتر شکل تنش (R) استفاده از آن برای یافتن رژیم تنش است.

در روش وارون سازی فرض می شود که خط لغزش (۸) در جهت تنش برشی بیشینه (تنش مماسی) که از تصویر تنش اعمالی روی سطح گسل به دست می آید روى هر یک از سطوح گسلی که از قبل موجود بوده اند، رخ می دهد. نتیجه وارون سازی، تصور تنش تفیری با بهترین سازگاری نسبت به مجموعه گسل هایی است که اندازه گیری شده اند و این کار با کمینه کردن انحراف زاویه ای بین بردار لغزش پیش بینی شده (۲) و بردار مشاهده شده (۸) عملی می شود (Carey, 1979; Angelier, 1984; Mercier et al., 1991). در این روش، همچنین فرض می شود که جایه جایی بلوک های گسلی نسبت به هم مستقل بوده و حاصل این تحلیل جهت (آزمیوت و شیب) محورهای تنش اساسی تنسور تفیری و همچنین پارامتر شکل تنش $R = (\sigma_3 - \sigma_2)/(\sigma_3 - \sigma_1)$ است. $\sigma_3, \sigma_2, \sigma_1$ به ترتیب محورهای تنش کمینه، میانگین و بیشینه است. در یک مجموعه صفحه گسلی اندازه گیری شده داده هایی را که ممکن است نشان دهنده دو رویداد جداگانه باشند، باید از هم متمایز ساخت (برای توضیح بیشتر به عباسی و فربد، ۱۳۸۳ و عباسی و شبانیان، ۱۳۸۴ مراجعه شود).

در یک رژیم امتداد لغزش، $R = 0$ با وضعیت تنشی مطابقت دارد که گذر به رژیم کششی است (رژیم تراکشنی یعنی $\sigma_1 > \sigma_2 > \sigma_3$ از نظر بزرگی نزدیک به هم هستند). در حالی که برای $R = 1$ مقادیر نشان دهنده گذر به رژیم تنشی راندگی است (رژیم ترافشارشی یعنی $\sigma_2 > \sigma_3$ عمودی و $\sigma_2 > \sigma_1$ از نظر بزرگی نزدیک به هم هستند). و بالاخره برای R نزدیک به 0 یا 1 یعنی $1 < R < 0.85$ و $0 < R < 0.15$ با یک تغییر کوچک به راندگی و نرمال به ترتیب تغییر می کند. بنابر این در چنین رژیم تنش می توان ترکیبی از گسل ها نظیر امتداد لغزش، راندگی و مورب لغز داشته باشیم. نتایج وارون سازی داده ها، زمانی مورد قبول است که 80° درصد انحراف زاویه ای بین 20° و 5° کمتر از 20° درجه باشد. داده های ایده آل شامل گسل هایی هستند که دارای شیب به دو سمت بوده و امتداد متفاوت باشند (شامل گسل های هم يوغ و مزدوچ). برای داده های با توزیع نامناسب (داده هایی که دارای دسته گسل های با شیب و امتداد یکنواخت باشند)، از روش وارون سازی ثابت شده (Bellier and Zoback, 1995) که توسط (fixed inversion) ارائه شده است. در توسط (Carey, 1979) ارائه شده، انجام گردید. اساس، محدودیت ها و کاربردهای این روش و الگوریتم های لازم برای نواحی با رژیم زمین ساختی مختلف توسط (Mercier et al., 1991) ارائه شده است. در 29° ایستگاه این مطالعه انجام شده است که محل آن در شکل ۲ نشان داده شده است. نتایج وارون سازی در جداول های ۱، ۲ و شکل ۳ شامل جهت محورهای تنش اساسی تنسور تنش محاسبه شده ($\sigma_1, \sigma_2, \sigma_3$)، بزرگای آنها و پارامتر شکل تنش که با نسبت $R = (\sigma_3 - \sigma_2)/(\sigma_3 - \sigma_1)$ مشخص است، و از صفر تا 1 تغییر

بوده است (یعنی آغاز فعالیت MRF به عنوان گسل امتداد لغز و توقف فعالیت گسل (ZMTF) تحولات ساختاری مهمی از نقطه نظر ناحیه ای رخ داده است. از نظر ساختاری و زمین پویایی کمرنده چین خورده زاگرس به سه ناحیه تقسیم شده است (Talebian and Jackson, 2004): شمال باختری (باختر گسل کازرون) با تسهیم کرنش، جنوب خاوری (ایالت فارس) با ساز و کار راندگی و ناحیه مرکزی با ساز و کار امتداد لغز. در این بین، بخش مرکزی در واقع یک پهنه گذرا از راندگی به ناحیه با تسهیم کرنش به شمار می آید (شکل ۱). یکی از عوامل مؤثر بر تغییر رژیم زمین ساختی در طول کمرنده چین خورده و رانده زاگرس، تغییر مکانی در جهت همگرایی صفحه عربستان نسبت به ایران مرکزی است (Jackson and McKenzie, 1988). به گونه ای که در جنوب خاور حرکت دارای روند 70° به سمت خاور، در قسمت مرکزی تقریباً شمالی-جنوبی و بالاخره در شمال باختری دارای روند 30° باختری است به همین ترتیب سرعت حرکت این صفحه از خاور به باختر کاهش می یابد و آن را به استقرار قطب اول حرکت این دو صفحه در دریای مدیترانه ارتباط می دهنند. همچنین با استناد به تغییر راستای حرکت صفحه عربستان به سمت ایران مرکزی از شمال خاور- جنوب باختر به شمال- جنوب، از تقریباً ۱۹ میلیون سال پیش (McQuarrie et al., 2003)، دوباره فعل شدن گسل اصلی عهد حاضر زاگرس در قالب گسل امتداد لغز را مسئول این تغییر سینماتیک می دانند (Navabpour et al., 2007). آهنگ کوتاه شدگی زاگرس بین خلیج فارس و راندگی اصلی زاگرس در فارس 8 ± 2 میلی متر در سال است (Tatar et al., 2002; Walpersdorf et al., 2006) در ضمن زمین لرزه های رخداده در محدوده مطالعاتی دارای ژرفای بیشینه 20 کیلومتر هستند (Talebian & Jackson, 2004).

روش مطالعه

برای مشخص شدن سینماتیک (جنش) و رژیم تنش در طول گسل های فعال از نظر زمانی و مکانی، تحلیل سینماتیکی توسط وارون سازی داده های به دست آمده از اندازه گیری های خط لغزش ها (fault slip) به تنسور تنش انجام شده است. وارون سازی با استفاده از برنامه رایانه ای که توسط (Carey, 1979) ارائه شده، انجام گردید. اساس، محدودیت ها و کاربردهای این روش و الگوریتم های لازم برای نواحی با رژیم زمین ساختی مختلف توسط (Mercier et al., 1991) ارائه شده است. در 29° ایستگاه این مطالعه انجام شده است که محل آن در شکل ۲ نشان داده شده است. نتایج وارون سازی در جداول های ۱، ۲ و شکل ۳ شامل جهت محورهای تنش اساسی تنسور تنش محاسبه شده ($\sigma_1, \sigma_2, \sigma_3$)، بزرگای آنها و پارامتر شکل تنش که با نسبت $R = (\sigma_3 - \sigma_2)/(\sigma_3 - \sigma_1)$ مشخص است، و از صفر تا 1 تغییر

جهت های تنش به دست آمده حاصل از روش ثبت شده 10 تا 15 درصد با تنش به دست آمده از طریق استاندارد تفاوت دارد. اگر چه نتایج حاصل از



گرانشی توده سنگی است که در اثر حرکات راندگی بالا آمده‌اند.

روش ثبت شده ممکن است مقادیر R نامطمئن را ارائه نماید.

۳) گسل زاگرس مرتفع

به واسطه این که این گسل در واقع دارای یک پیکره مجرما نیست و خود از مقاطع مختلف با سینماتیک تشکیل شده است بهتر است از آن به عنوان یک سامانه گسلی (fault system) نام برد شود. شکل ۲ این سامانه گسلی و ارتباط آن با گسل کازرون را نشان می‌دهد. به نظر می‌رسد در محل اتصال این سامانه گسلی به گسل کازرون، بخش عمده‌ای از دگرشكلي‌ها زاگرس مرتفع نیز به گسل کازرون و مجموعه گسل‌های امتداد لغز موازات آن (مانند کوه بس، سبزپوشان، سروستان و اردکان) منتقل می‌شود (برای مطالعه بیشتر به Authemayou et al., 2005 مراجعه شود). به عبارت دیگر در انتقال دگرشكلي از سامانه زمین‌ساختی با تسهیم کرنش در زاگرس مرتفع باختり به سامانه راندگی در فارس گسل HZF نیز مشارکت داشته و در واقع در بخش شمالی گسل کازرون یک پیوستگاه سه‌گانه را با مشارکت گسل MRF تشکیل می‌دهد.

در دو منطقه‌ای که HZF به طور دقیق مطالعه شده است (قطعه سبز کوه و بازفت) شواهد کافی اعم از اندازه‌گیری سینماتیکی (جدول‌های ۱ و ۲) و انحراف آبراهه‌ها (شکل‌های ۵ و ۶) نشان دهنده تغییر رژیم زمین‌ساختی از راندگی به امتداد لغز است. به عنوان مثال قطعه سبز کوه را می‌توان یک پهنه گسلی ترافشارشی تلقی کرد که عملکرد آن سبز کوه را ایجاد کرده است. شکل ۷ این مورد را به خوبی نشان می‌دهد. پهنه مذکور در واقع یک ساختار غنچه‌ای را به تصویر می‌کشاند که در آن یک گسل مرکزی امتدادلغز و گسل‌های همراه، با رژیم راندگی دیده می‌شوند. اندازه‌گیری‌ها در این قطعه نشان دهنده تغییر رژیم زمین‌ساختی در اوآخر پلیوسن است چون این تغییر در سازند کنگلومراي بختياری نيز ديده شده است.

در قطعه بازفت (ایستگاه‌های ۲۵ و ۲۶) که می‌توان از آن به عنوان بلندترین قطعه در سامانه گسلی HZF نام برد شکل ۲ و انحراف آبراهه‌ها نیز گواه بر این باورند (شکل ۶)، اندازه‌گیری‌ها در صفحات گسلی که سازند کنگلومراي بختياری را متأثر کرده‌اند، نشان از وجود دو نسل از خط لغزش است که به ترتیب ناشی از دو رژیم فشاری و امتداد لغز است (شکل ۳). در بخش جنوب خاوری این قطعه (شکل ۸) گسل بازفت که سنگ‌هاي متعلق به کرتاسه را تحت تأثیر قرار داده، موجب شده است تا اين سنگ‌ها از طریق سطح جدا کننده (decollement) می‌شان بر روی رسوبات آبرفتی عهد حاضر و کنگلومراي بختياری رانده شوند. این امر نشان دهنده حرکت خارج از توالی (out-of-sequence) در امتداد گسل HZF است که می‌توان آن را به حرکات اوآخر پلیوسن (یعنی مربوط به مرحله بازسازماندهی حرکت

گسل‌ها و آرایش گسلی در زاگرس مرتفع

۱) گسل عهد حاضر زاگرس

شکل ۲ آرایش گسل‌های موجود در منطقه مورد مطالعه را نشان می‌دهد. در چهار ایستگاه مبادرت به اندازه گیری خط لغزش شده است (۲، ۴، ۵ و ۶). از این میان، دو ایستگاه (۲ و ۴) در محلی بوده است که گسل MRF سازند کنگلومراي بختياری را تحت تأثیر قرار داده است. شواهد به دست آمده از این دو ایستگاه نشان دهنده دو نسل از خط لغزش هاست که با توجه به قاعده تنسور تنش جوانتر به دست آمده نشان دهنده رژیم برش (crosscutting) همچنین دو ایستگاه (۵ و ۶) در امتداد لغز است (جدا اول ۱ و شکل ۳). همچنین گسل عهد حاضر (شکل ۱) در محل‌هایی است که گسل، واحدهای سنگی مربوط به پالتوزوییک را متأثر کرده است. در یکی از این ایستگاه‌ها صفحات گسلی دو نسل لغزش را نشان می‌دهد که به ترتیب دارای رژیم تنش راندگی و امتداد لغز هستند. نکته جالب توجه در نتایج به دست آمده آن است که اولاً رژیم تنش در امتداد گسل عهد حاضر زاگرس از راندگی به امتداد لغز تغییر کرده و ثانياً جهت محور تنش بیشینه در دو رژیم دارای روند تقریبی شمالی-جنوبی است.

۲) محل تقاطع گسل‌های کازرون و گسل عهد حاضر
انتقال دگرشكلي از گسل عهد حاضر به گسل کازرون یعنی جايی که فعالیت گسل عهد حاضر، به عنوان یک گسل امتداد لغز راست گرد، به حداقل می‌رسد، مقداری پیچیده به نظر می‌آید. نتایج مطالعات و مشاهدات صحرایی و اندازه‌گیری خط لغزش‌ها نشان می‌دهد که بخش عمده‌ای از این دگرشكلي توسط گسل‌های راندگی در انتهای شمالی گسل کازرون جذب می‌شود جایی که به واسطه این رویداد، این منطقه دارای ارتفاع محلی زیادی نسبت به مناطق مجاور است. از سوی دیگر، بخش عمده‌ای از این دگرشكلي توسط شاخه‌ای از گسل عهد حاضر که دارای خمیدگی به سمت جنوب است (قطعه آورده‌گان: ایستگاه ۷) و به واسطه این تغییر در روند (از شمال باختر-جنوب خاور به شمال خاور-جنوب باختر) دارای سینماتیک متفاوتی نسبت به گسل عهد حاضر شده است (یعنی تغییر از امتداد لغز راست گرد به امتداد لغز یا مورب لغز چپ گرد) جذب می‌شود. شکل ۴ نشان دهنده ساز و کار انتقال دگر شکلی از گسل عهد حاضر به گسل کازرون است. تفاوت ساختاری در باختر گسل کازرون نسبت به خاور آن به مقداری است که می‌توان از آن (انتهای شمالی گسل کازرون) به عنوان یک syntax یاد کرد. در پیشانی این syntax و در رسوبات جوان، منطقه وسیعی تحت تأثیر گسلش نرمال قرار گرفته است (ایستگاه ۸). به نظر می‌رسد گسل‌های نرمال نشان دهنده حرکات

در منطقه‌ای که گسل عهد حاضر به گسل کازرون وصل می‌شود، از مطالعات پیشین متایز می‌شود. در این محل بخش عمدۀ از دگرشکلی توسط یک قطعه کوچک به نام آوردگان که دارای سینماتیک متفاوتی نسبت به گسل عهد حاضر است، به گسل کازرون منتقل می‌شود. به عبارت دیگر قطعه آوردگان در پایانه خاوری گسل عهد حاضر زاگرس (MRF)، دارای روند شمال خاوری-جنوب باختری (عکس روند اصلی MRF) است که این وضعیت موجب شده است با توجه به جهت تنفس تقریباً شمالی-جنوبی، سینماتیک آن نیز متفاوت باشد.

۱-۲-۱ HZF: با یافته‌های جدید این گسل را (دست کم در زاگرس مرتفع باختری) نمی‌توان یک گسل راندگی محض قلمداد کرد، بلکه این گسل در پاره‌ای از قطعات کاملاً امتداد لغز هستند. در واقع هر یک از قطعات شمالی (سبزکوه) و جنوبی (بازفت) یک ساختار غنچه‌ای را شکل می‌دهند که می‌توان گسل‌های راندگی و امتداد لغز را باهم مشاهده کرد (شکل ۷). مقادیر R به دست آمده از تحلیل سینماتیک نیز نشان دهنده این گسل‌های با سینماتیک مداخل (mixed-mode) هستند. به نظر می‌رسد قطعه بازفت به همراه مسان در شمال باختر و قطعه کرمان به همراه ارمند در جنوب خاور یک ساختار غنچه‌ای را تشکیل می‌دهند که به ترتیب نقش امتداد لغز و راندگی را یافما کنند. در شکل ۱۱ انحراف تقریباً 50° متری راست گرد آبراهه توسط فعالیت قطعه کرمان حاکی از این مسئله است. به نظر می‌رسد مجموعه گسل‌های دوپلان، سبزکوه، مسان، کرمان، ارمند و جنوب خاور بازفت یک منطقه فشاری (restraint) در انتهای دو گسل راست گرد بازفت و کازرون باشد (شکل ۱۰).

۲) آهنگ لغزش در امتداد گسل عهد حاضر

در مورد فعالیت این گسل، اظهار نظرهای متفاوتی وجود دارد. بر مبنای داده‌های زمین‌شناسی و ریخت‌شناسی (Talebian and Jackson, 2002; Bachmanov et al., 2004)؛ آهنگ لغزش (slip rate) برای این گسل در صورتی که آغاز فعالیت این گسل را $3-5$ میلیون سال بدانیم، (Talebian & Jackson, 2002; Authemayou et al., 2006) $17-10$ mm/year تغییر می‌کند و این با یافته‌های حاصل از مطالعات و اندازه‌گیری‌های GPS (Vernant, et al., 2004; Walpersdorf et al., 2006) که در حدود 2 میلی‌متر در سال است، مغایرت اساسی دارد. چهار دلیل را می‌توان برای این تفاوت زیاد ذکر نمود. نخست آنکه ممکن است حرکات امتداد لغزی و یا در یک عبارت کلی‌تر حرکات راست گردی در امتداد شمالی زاگرس مرتفع از دیرباز (قدیمی‌تر از $5-3$ میلیون سال پیش) شروع شده باشد (e.g. Navabpour et al., 2007). دوم آن‌که در گذشته آهنگ حرکت در امتداد گسل عهد حاضر از آنجه که در عهد حاضر است

صفحه عربستان به سمت اوراسیا) نسبت داد. این مورد قبلاً توسط محققان دیگر (Molinaro et al., 2005a) در شمال بندر عباس گزارش شده است و از آن به عنوان گذر از زمین‌ساخت نازک-پوسته (thin-skinned tectonic) به زمین‌ساخت سبیر-پوسته (thick-skinned tectonic) (Molinaro et al., 2005b) این فعالیت نام می‌برند. در جای دیگر آنها (Shakl ۹) را به تحوالاتی که در گوشه به واسطه جاذبه تحکیل (out-of-sequence slab break-off) اتفاق افتاده، نسبت می‌دهد که در اثر آن و یا در پی این فرایند، گسل‌های پی‌سنگی فعال شده‌اند. با این تفاوت که در مورد بازفت مرحله دوم (thick-skinned tectonic) یک ساز و کار راندگی محض را شامل نمی‌شود و می‌توان با توجه به اثراتی که بر روی سطوح گسلی در سازند کنگلومراي بختياری ديده می‌شود (شکل ۹)، آن را به عنوان یک گسل امتداد لغز یا مورب لغز راست گرد در نظر گرفت (ایستگاه‌های ۲۲، ۲۴).

در مورد قطعات دیگر نظیر دوپلان، میلی و ارمند اندازه‌گیری‌های خط لغزش بر روی سطوح گسلی که به طور عمده کنگلومراي بختياری است نشان دهنده وجود رژیم زمین‌ساختی ترا فشارشی تا امتداد لغز هستند. اطلاعات ما بر اساس نتایج به دست آمده از تنسور تنش، مقادیر R و بزرگای محورهای تنش اساسی است که در جدول‌های ۱ و ۲ و در متن مقاله درباره آنها توضیح داده شده است. در مورد قطعات مسان، کرمان، آب باغ و ارمند اطلاعات ما به دلیل عدم وجود راه دسترسی به گسل، به ساز و کار کانونی زلزله‌ها ی بزرگ اخذ شده از (CMT Solution) (Yaminifard et al., 2006) و خرد لرزه‌ها (Shakl ۱۰) در امتداد این گسل‌ها رخ داده و همچنین به خصوصیات زمین‌ریختی آنها محدود می‌شود (شکل ۱۰).

۴) گسل سميرم

این گسل در واقع به نظر می‌رسد که تداوم به سمت جنوب خاور گسل عهد حاضر زاگرس است. بحث ساختاری و سینماتیکی این گسل به طور مفصل در مطالعات گذشته (Authemayou et al., 2006) آمده است. در دو ایستگاه ۲۸ و ۲۹ که در طول این گسل مبادرت به اندازه‌گیری شده است، و نتیجه آن در جدول ۱ و ۲ بازتاب شده است.

بحث

۱) سینماتیک گسل‌های موجود در زاگرس مرتفع
۱-۱ گسل عهد حاضر: همان‌گونه که در شکل ۲ مشخص است و در کارهای پیشین (Authemayou et al., 2006) نیز منعکس شده، گسل عهد حاضر دارای ساز و کار امتداد لغزی است و یافته‌های این مطالعه با دست آوردهای گذشته تا حدودی زیاد مطابقت دارد. این مطالعه با ارائه اطلاعات بیشتر بخصوص



یا گسل‌های دیگر مانند MFF منتقل می‌شود. با توجه به وارون سازی داده‌های به دست آمده از صفحات گسلی در سازند کنگلومرای بختیاری، به نظر می‌رسد که این تحول در رژیم تنش از راندگی به امتداد لغز در اوخر پلیوسن یعنی همزمان با باز سازماندهی حرکت صفحه عربی نسبت به اوراسیا اتفاق افتد. بنابر این، این پژوهش با اعتقاد به وجود سامانه تسهیم کرنش (Strain Partitioning) در زاگرس باختیری، و امکان وجود حرکت راست گردی در طول کمربند زاگرس متوجه، پیش از آن که باز سازماندهی حرکت صفحه عربی، پیشنهاد می‌کند که این تسهیم از نوع کامل (Complete Strain Partitioning) نیست، بلکه بخش‌هایی از مؤلفه امتدادلغزی در عرض کمربند رانده و چین خورده زاگرس توسط گسل‌های موجود مانند HZF جذب شده و فقط بخشی از این مؤلفه توسط گسل اصلی عهد حاضر زاگرس جذب می‌شود (Partial Strain). این یافته می‌تواند ما را در جواب این پرسش که چرا آهنگ لغزش (slip rate) در امتداد گسل عهد حاضر زاگرس کاهش یافته کمک نماید.

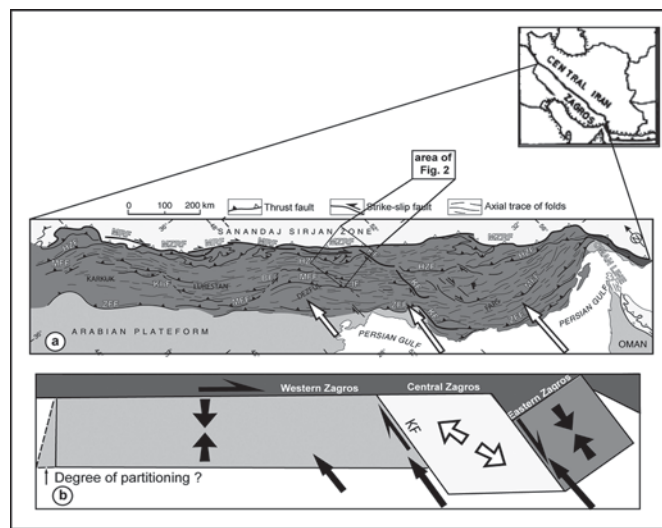
سپاسگزاری

مؤلفان از همکاری پژوهشگاه بین المللی زلزله‌شناسی و مهندسی زلزله و استانداری چهار محال و بختیاری بخصوص فرمانداری بروجن در تهیه امکانات مطالعاتی و رفاهی قدردانی می‌نمایند. از مساعدت‌های همکاران عزیز آقای مسعود مسی بیگی از بخش اکتشاف شرکت ملی نفت ایران، سرکار خانم فربد و آقای سليمانی از پژوهشگاه بین المللی زلزله‌شناسی و مهندسی زلزله سپاسگزاری می‌شود.

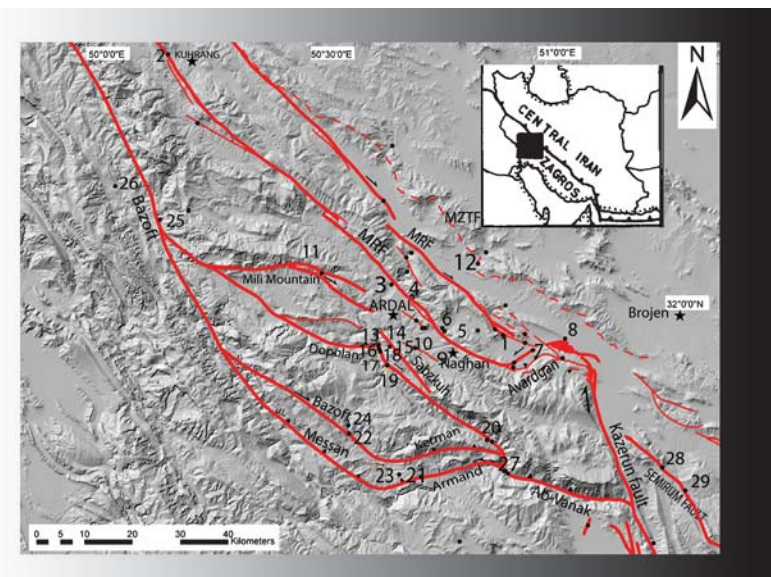
بیشتر باشد. به عبارت دیگر فعالیت این گسل در گذشته بیشتر از حال بوده و به موجب آن جایه‌جایی که اکنون شاهد آن هستیم با مقادیر گذشته منطبق نباشد. دلیل سوم را می‌توان در تفاوت ماهیت دگرشکلی زمین شناختی که دیگر فرایند کلی است، با دگر شکلی اندازه‌گیری شده توسط GPS که در یک مقطع کوتاه انجام می‌شود، جستجو کرد گرچه توافق بین این دو دگرشکلی در اغلب مطالعات گذشته نشان داده شده است (Relinger et al., 2006). بالاخره به عنوان دلیل چهارم، می‌توان برآورد نادرست در میزان جایه‌جایی با تکیه بر شواهد زمین‌شناسی را ذکر کرد. با توجه به وجود مؤلفه‌های امتداد لغز در قطعات مختلفی از HZF از یک سو و با توجه به این که این حرکات از اوخر پلیوسن شروع شده است (وجود دو نسل راندگی و امتدادلغزی در سازند بختیاری و جوان تر بودن رژیم امتدادلغزی) از سوی دیگر، به نظر می‌رسد که از آغاز باز سازماندهی، آهنگ حرکت امتداد لغزی در امتداد گسل عهد حاضر کاهش یافته است و این به دلیل جذب بخشی از این حرکت امتداد لغز توسط گسل HZF و احتمالاً MFF است (Walpersdorf et al., 2006).

نتیجه‌گیری

بامطالعات انجام شده نشان داده است که رژیم زمین‌ساختی حاکم بر زاگرس مرتفع در تمام مقاطع راندگی محض نیست بلکه از رژیم امتداد لغز پیروی می‌کند. بنابراین از مجموع مؤلفه امتداد لغز در همگرایی مورب صفحه عربستان تنها بخشی از این حرکت توسط گسل MRF جذب می‌شود و بقیه توسط گسل HZF و



شکل ۱- a) نقشه موقعیت کمربند چین خورده و رانده زاگرس را نشان می‌دهد. کادر مریع در زمینه نقشه نشان دهنده محل مورد مطالعه است. علامت اختصاری در نقشه در متن توضیح داده شده‌اند. b) الگوی ساده‌های از زمین ساخت فعل زاگرس را نشان می‌دهد. این الگو توسط (Talebian & Jackson, 2004) ارائه شده و در متن مقاله تشریح شده است. عمدۀ هدف این مقاله، پاسخ به علامت سؤالی است که در زیر این الگو آمده است: آیا تسهیم تنش در زاگرس باختیری از نوع کامل است؟ (تغییر یافته از Authemayou et al., 2006).



شکل ۲- نقشه بر جسته بر گرفته از نقشه رقومی STRM90 که در آن محل با شماره از ۱ تا ۲۹ استگاههای بوده اند که اندازه گیری در آنها انجام شده است. قطعات گسلی در کنار گسل آمده است. فلش به رنگ مشکی نشان دهنده گسل امتداد لغز و سینماتیک آن است. مثلث های کوچک روی قطعات نشان دهنده حرکت راندگی است. علامت ستاره محل شهر است.

جدول ۱- نتایج وارون سازی خط لغزش های اندازه گیری شده بر روی صفحات گسلی که بیان کننده تنش نسل دوم (تنش عهد حاضر) است.

Site No.	latitude	longitude	Formation	Azimuth/Plunge			R	N	M.D.	S.D.	Magnitude			Quality
				o1	o2	o3					o1	o2	o3	
1*	31.94	50.88	Eocene	174901	71990	26440	0.5	8	9	13.4	-0.72	0	0.72	P
2	32.33	50.14	Plio-Quaternary	189601	295054	09225	0.43	11	8.8	10.5	-0.71	-0.07	0.78	W
3	32.03	50.63	Cretaceous	014112	268554	11275	0.93	6	7.5	9.5	-0.88	0.4	0.48	P
4	31.98	50.59	Plio-Quaternary	021902	119771	20019	0.12	12	10	12.6	-0.9	0.39	0.51	W
5	31.95	50.75	Cenozoic	173901	263779	08311	0.57	16	9.1	11.7	-0.75	0.06	0.69	W
6	31.95	50.74	Cretaceous	194903	074985	28405	0.2	15	9.7	12.6	-0.67	-0.26	0.85	W
7	31.91	50.94	Plio-Quaternary	166917	259057	03971	0.95	9	6.4	7.8	-0.84	0.1	0.73	P
8	31.93	50.97	Plio-Quaternary	044984	255056	165053	0.84	19	12.2	13.35	0.81	0.3	0.5	W
9*	31.91	50.7	Plio-Quaternary	113901	272950	02350	0.48	8	8.75	9.3	-0.81	-0.02	0.83	P
10	31.92	50.86	Plio-Quaternary	339912	243918	098988	0.77	8	10	12.5	-0.9	0.27	0.68	P
11*	32.05	50.48	Eocene	215901	100996	30500	0.3	9	5.8	6.7	-0.77	-0.26	1	P
12	32.08	50.82	Cretaceous	053011	152921	32308	0.91	12	8.3	13	-1	0.45	0.58	W
13*	31.92	50.6	Plio-Quaternary	223901	132000	313950	0.85	8	11.87	15	-0.97	0.37	0.6	P
14*	31.92	50.82	Plio-Quaternary	181950	016965	27150	0.2	8	11.25	13.69	-0.54	-0.26	0.8	P
15	31.92	50.82	Cretaceous	351014	081014	214051	0.41	12	9.6	12.6	-0.67	-0.09	0.75	W
16	31.91	50.6	Plio-Quaternary	255053	345056	141506	0.48	18	11.38	13.96	-0.71	-0.02	0.73	W
17*	31.91	50.6	Plio-Quaternary	106901	197889	016001	0.98	8	2.5	6.25	-0.86	0.42	0.44	P
18	31.88	50.82	Plio-Quaternary	224956	316940	119775	0.83	12	14.56	18.3	-0.98	0.36	0.62	W
19	31.89	50.82	Plio-Quaternary	297901	299851	116939	0.92	13	13.6	17.6	-0.94	0.41	0.53	W
20*	31.74	50.85	Cretaceous-Plio-Quaternary	152001	033950	244005	0.84	12	11.25	13.78	-0.97	0.27	0.53	W
21	31.675	50.59	Plio-Quaternary	286940	028950	185058	0.89	6	10.83	9.4	-0.83	0.12	0.71	P
23	31.68	50.65	Plio-Quaternary	192013	283116	09174	0.52	14	13.57	17.5	-0.74	0.02	0.72	W
24	31.75	50.638	Plio-Quaternary	004913	257952	103095	0.99	12	9.16	11.1	-0.85	0.42	0.43	W
25	32.15	50.118	Plio-Quaternary	153112	032081	247718	0.35	8	9.37	11.45	-0.70	-0.16	0.93	P
26*	32.21	50.618	Plio-Quaternary	150101	354906	241005	0.6	11	11.6	11.9	-0.95	0.15	0.81	W
27*	31.68	50.888	Cretaceous	068901	209818	338902	0.62	6	18.5	20.98	-0.76	0.11	0.65	P
28*	31.69	51.239	Eocene	203901	073950	293505	0.33	12	12.5	43.3	-0.71	-0.16	0.89	W
29*	31.65	51.26	Plio-Quaternary	115101	205051	328089	0.44	6	11.25	11.8	-0.7	-0.06	0.75	P

“P”: مربوط به داده هایی که از قواعد فوق پیروی نمی کنند.

“*”: استگاههایی که در آن وارون سازی به روش ثابت شده انجام گرفته است.

$\sigma_3, \sigma_2, \sigma_1$

$R = (\sigma_2 - \sigma_1) / (\sigma_3 - \sigma_1)$

M.D. = $(\Sigma(\tau, s)) / N$, (τ, s)

S.D. = $(\Sigma(\tau, s)^2) / N^{1/2}$.

بزرگای تنش اساسی:

فاکتور شکل تنش:

M.D. میانگین زاویه عدم انتبطاق:

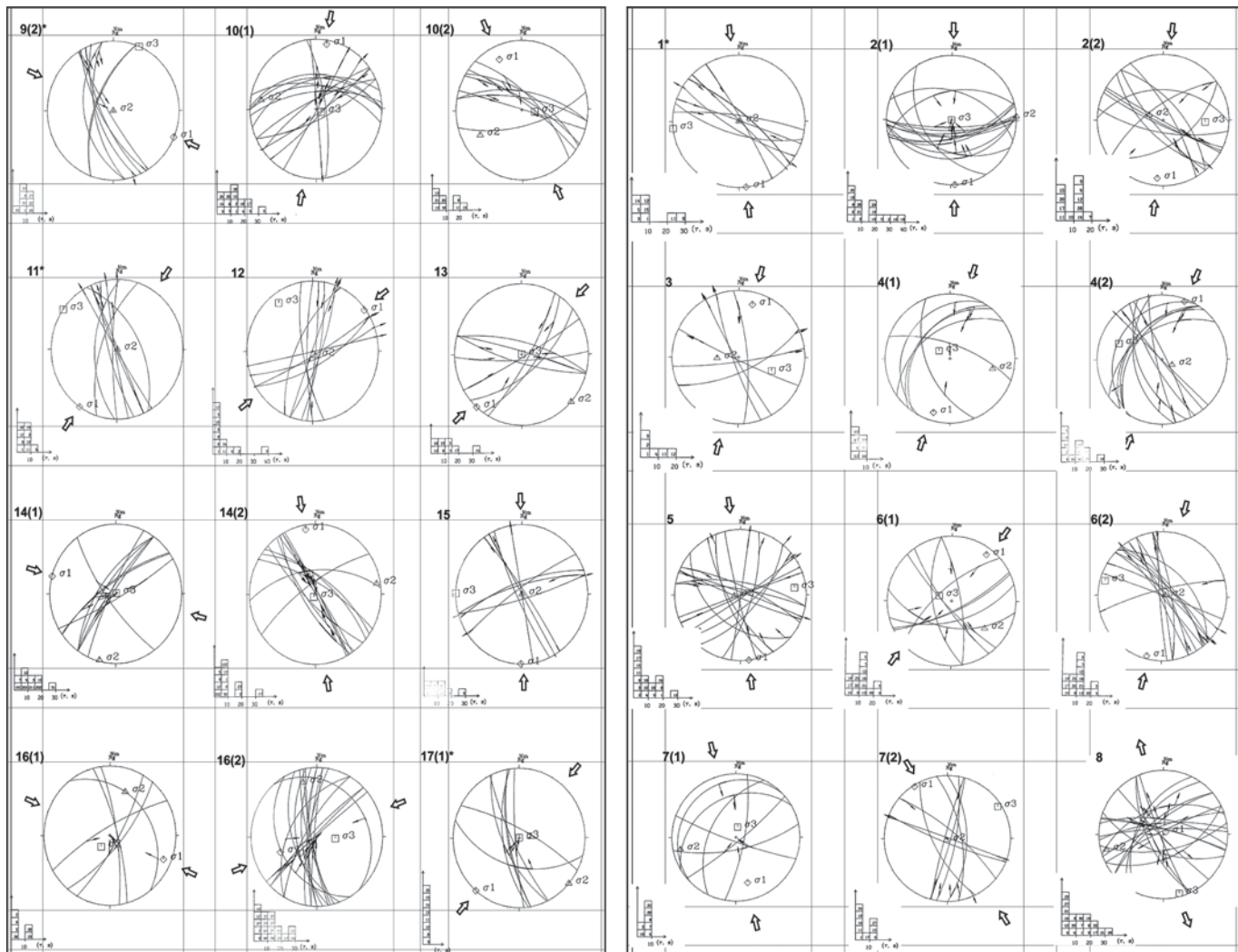
S.D. انحراف معیار:

“W”: مربوط به داده هایی که از قاعده Bellier & Zoback (1995) به صورت زیر پیروی می کنند:

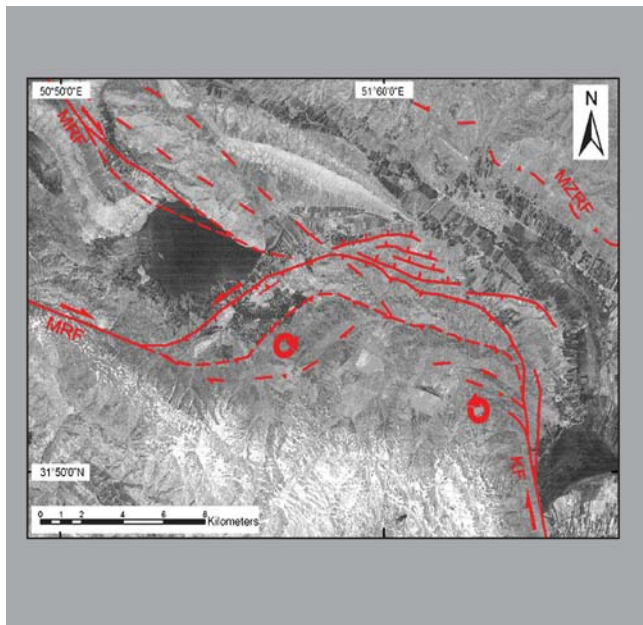
$N > 11$, M.D. < 13 , M.D. $< S.D. < 3/2 M.D.$, $70^\circ < \alpha_v \text{ plunge} < 90^\circ$, α_{hmin} and α_{hmax} plunge $< 20^\circ$

جدول ۲- نتایج وارون سازی خط لغزش‌ها اندازه‌گیری شده بر روی صفحات گسلی که بیان کننده تنش نسل اول (تنش دیرینه) است.

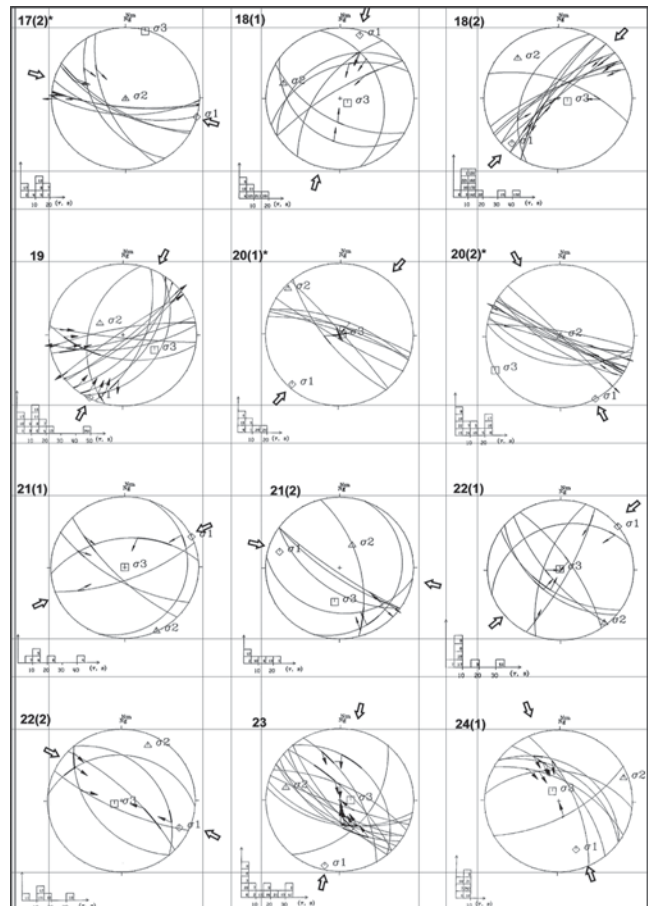
Site No.	latitude	longitude	Formation	Azimuth/Plunge			R	N	M.D.	S.D.	Magnitude			Quality
				o1	o2	o3					o1	o2	o3	
2*	32.33	50.2	Plio-Quaternary	177/0	087/00	295/90	0.52	15	13.6	10.3	-0.72	0.02	0.7	W
6	31.95	50.74	Plio-Quaternary	036/06	129/23	292/66	0.61	15	9.6	12.76	-0.87	0.12	0.75	W
7	31.91	50.94	Plio-Quaternary	328/01	215/86	058/03	0.95	7	6.1	6.5	-0.99	0.46	0.53	P
9	31.91	50.7	Plio-Quaternary	239/02	330/20	144/70	0.51	9	16.3	15.8	-0.78	0.01	0.77	P
10	31.92	50.68	Plio-Quaternary	010/04	279/10	119/80	0.58	15	12.6	15.26	-0.75	0.06	0.69	W
15*	31.92	50.82	Cretaceous	285/00	195/1	238/9	0.39	10	11.5	13.6	-0.63	-0.15	0.78	P
16	31.91	50.61	Plio-Quaternary	113/07	020/22	220/66	0.18	6	5.8	7.5	-0.58	-0.31	0.9	P
17*	31.91	50.6	Plio-Quaternary	221/00	131/01	315/90	0.13	8	2.5	6.25	-0.49	-0.32	0.81	P
18	31.88	50.62	Plio-Quaternary	016/04	285/13	123/76	0.85	7	7.5	9.2	-0.85	0.32	0.53	P
20*	31.74	50.85	Cambrian+Plio-Quaternary	221/00	311/00	090/90	0.2	7	7.5	9.2	-0.54	-0.27	0.81	P
21*	31.67	50.69	Plio-Quaternary	65/00	155/00	322/60	0.88	5	19.5	23	-0.91	0.37	0.54	P
22	31.75	50.55	Cretaceous	052/00	142/02	322/68	0.97	7	11.78	15.1	-1.01	0.49	0.52	P
22	31.75	50.55	Cretaceous	116/08	025/00	246/76	0.89	6	15.5	18.1	-0.93	0.38	0.55	P
24	31.75	50.55	Plio-Quaternary	160/18	069/01	326/71	0.53	7	5.3	5.9	-0.81	0.03	0.78	P
25	32.15	50.12	Plio-Quaternary	346/06	077/07	218/61	0.72	5	5.5	6	-0.82	0.21	0.61	P
26*	32.21	50.02	Plio-Quaternary	180/00	276/00	090/90	0.88	4	10	10.89	-0.81	0.33	0.48	P
27*	31.68	50.89	Cambrian	136/00	046/00	345/90	0.18	5	9.5	11.6	-0.53	-0.28	0.81	P
27	31.68	50.89	Cambrian	254/08	350/37	153/52	0.79	6	10.8	8.5	-0.87	0.29	0.59	P



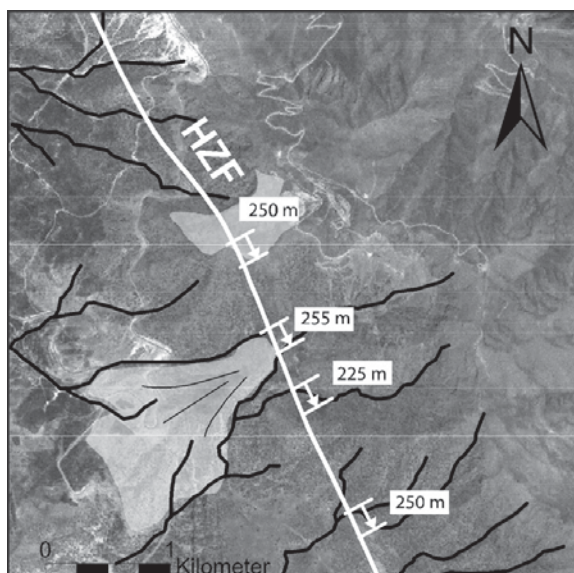
شکل ۳- صفحات گسلی و ساز و کار آنها که به کمک شبکه اشمیت رسم شده است. زاویه ناهمخوانی (محور افقی) و تعداد صفحات اندازه‌گیری شده مربوطه (محور عمودی) در سمت چپ آمده است.



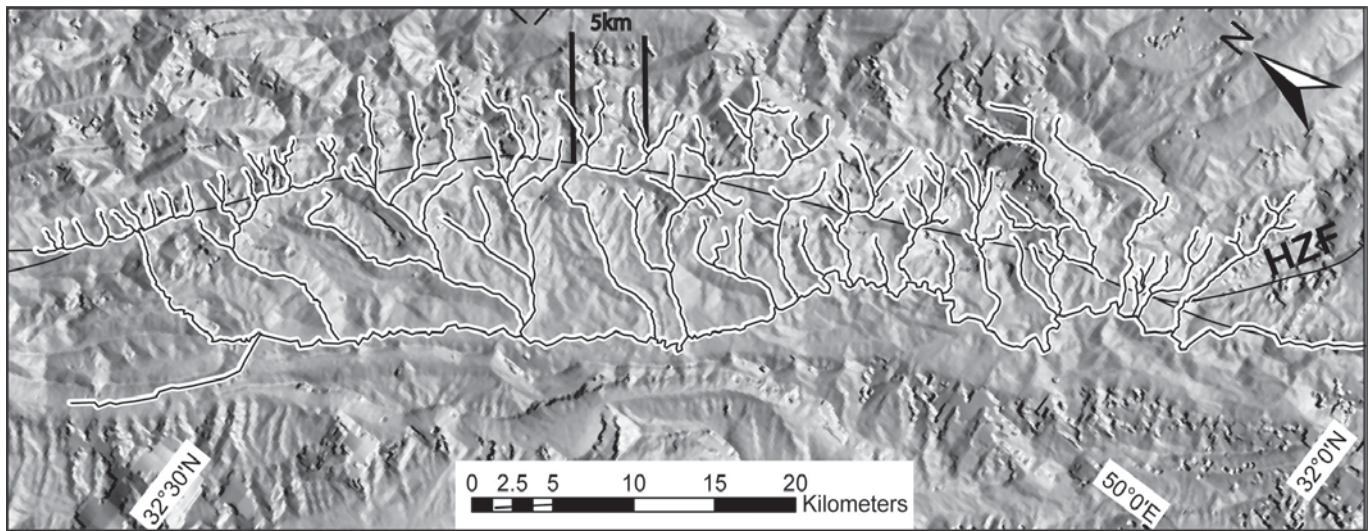
شکل ۴- محل تقاطع دو گسل فعال کازرون (KF) و گسل عهد حاضر زاگرس (MRF) بخش عمده دگر شکلی توسط قطعه آوردگان که با سینماتیک چپ گرد نشان داده شده است، منتقل می شود. به نظر می رسد حرکت راست گردی در امتداد گسل کازرون و چپ گردی در راستای قطعه آوردگان موجب حرکت به ترتیب پاد ساعتگرد و ساعتگرد در مناطق مجاور شده است. توده بالا آمده تحت تأثیر این ساز و کار در اثر ناپایداری گرانشی در پیشانی این جبهه دگر شکلی (syntax) گسلش عادی را موجب شده اند.



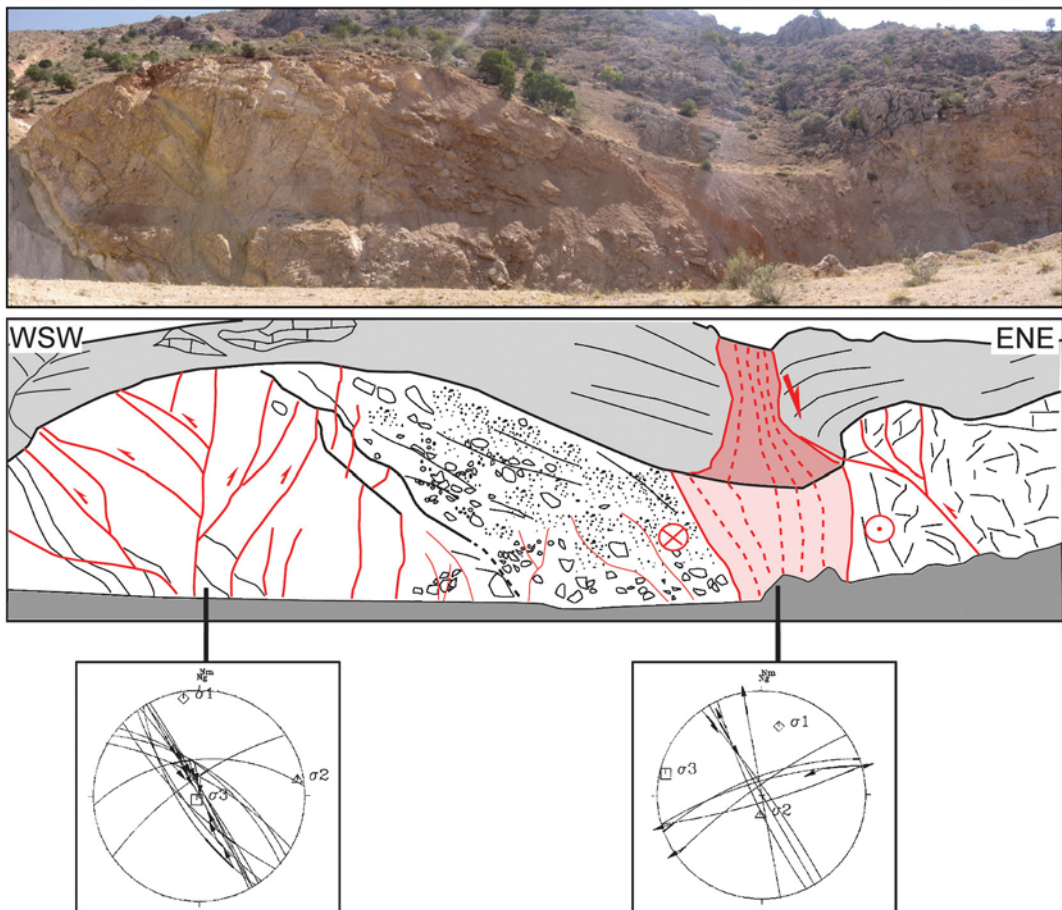
ادامه شکل ۳



شکل ۵- قطعه گسلی سبز کوه که موجب انحراف آبراهها و پشتہ ها شده است. این دگر شکلی ها نشان دهنده وجود مؤلفه راست گرد در سینماتیک این قطعه از گسل HZF است.



شکل ۶- انحراف راست گرد شبکه‌های زهکشی در امتداد قطعه گسلی بازفت که طویل‌ترین قطعه گسلی HZF است، نشان‌دهنده وجود مؤلفه راست گرد در سینماتیک این قطعه است. میزان جابه‌جایی میانگین ۵ km است که نسبت به قطعه سبز کوه بسیار بیشتر به نظر می‌رسد.



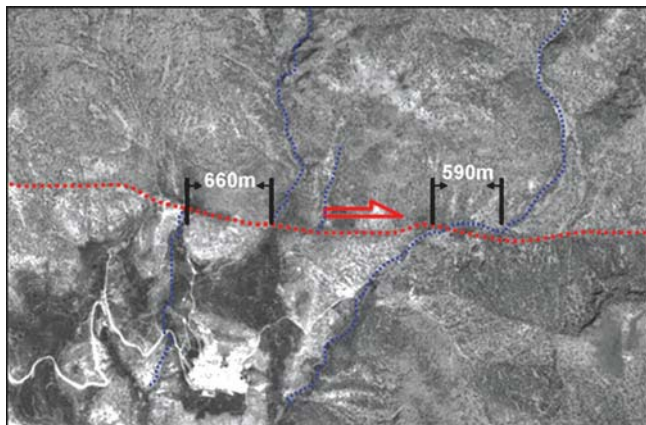
شکل ۷- مقطعی از قطعه گسلی سبز کوه که نشان‌دهنده یک ساختار غنچه‌ای (flower structure) در مجاورت یک گسلش امتداد لغزی است. این گسلش که واریزه‌ها را متأثر ساخته دارای سینماتیک راست گرد است.



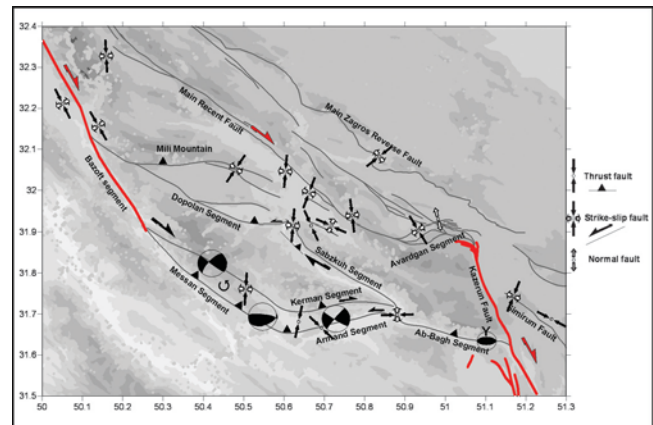
شکل-۸- مقطعی از گسل بازفت که در آن سازندهای مربوط به کرتاسه روی سازند میشان و کنگلومرای بختیاری رانده شده‌اند. سازند میشان در حرکت توده سنگ‌های متعلق به کرتاسه به عنوان یک سطح جدایش عمل می‌کند و گسلش در بخش مرکزی خود شامل حرکات امتداد لغز با مؤلفه راست گرد است.



شکل-۹- مقطعی از سازند کنگلومرای بختیاری که توسط قطعه گسل بازفت تحت تأثیر قرار گرفته است. سینماتیک این گسلش با خط لغزش‌هایی که روی تخته سنگ‌های این سازند به جای گذاشته شده است، قبل ملاحظه است. همان‌گونه که مشاهده می‌شود، دو نسل از خط لغزش‌ها قابل پیگیری است که با توجه به قطع شدن خط لغزش با سینماتیک راندگی (۱) توسط امتداد لغز (۲)، جوان تر بودن رویداد امتداد لغز نتیجه گیری می‌شود.



شکل ۱۱- انحراف راست گرد آبراهه نشان دهنده تداوم سینماتیک ترافشارشی در امتداد HZF از شمال باختر به جنوب خاور است.



شکل ۱۰- نقشه‌ای که نتایج تحلیل سینماتیکی را در بخش مرکزی منطقه مورد مطالعه نشان می‌دهد. همان‌گونه که مشاهده می‌شود از شواهد صحرایی، تحلیل سینماتیک، سازوکار کانونی زلزله‌ها می‌توان ساز و کار گسل‌های موجود و رژیم تنش حاکم را بدست آورد. سازوکار کانونی که روی آن با Y مشخص شده است از روی مطالعات خرد لرزه (Yaminifard et al., 2006) برگرفته شده است.

کتابنگاری

عباسی، م.ر.، شبانیان بروجنی، ا.، ۱۳۸۴- تعیین وضعیت تنش به روش برگشتی از صفحه‌های گسلی لبه جنوبی البرز مرکزی. علوم زمین شماره ۵۵
عباسی، م.ر.، فربد، ی.، ۱۳۸۳- مقدمه‌ای بر تعیین وضعیت تنش به کمک روش برگشتی صفحه‌های گسلی و خط‌خش‌های مربوطه. علوم زمین شماره ۵۴

References

- Alavi, M., 1994 - Tectonics of the Zagros orogenic belt of Iran: New data and interpretations, *Tectonophysics*, 229, 211 – 238.
- Allen, M. B., Jackson, J. & Walker, R., 2004 - Late Cenozoic re-organization of the Arabia-Eurasia collision and the comparison of short-term and longterm deformation rates, *Tectonics*, 23, TC2008, doi:10.1029/2003TC001530.
- Angelier, J. , 1984- Tectonics analysis of slip data sets, *J. Geophys. Res.*, 89, 5835 – 5848.
- Authemayou, C. et al., 2007- Quaternary slip-rates along the Kazerun and the Main Recent Faults: evidence for slip partitioning in the Zagros fold and thrust belt.
- Authemayou, C., Bellier, O. , Chardon, D. , Malekzadeh, Z. & Abbassi, M., 2005a- Role of the Kazerun Fault system in active deformation of the Zagros Fold-and-Thrust belt (Iran), *C. Acad. Sci., Geoscience*, 337, 539-545
- Authemayou, C., D. Chardon, O. Bellier, Z. Malekzadeh, I. Shabanian & M. Abbassi, 2005- Late Cenozoic Partitioning of oblique plate convergence in the Zagros Fault-and-Thrust belt (Iran), *Tectonics*, VOL. 25, TC3002, doi:10.1029/2005TC001860.
- Bachmanov, D. M., Trifonov, V. G., Hessami,K. T., Kozhurin,A. I., Ivanova, T. P., Rogozhin, E. A., Hademi, M. C. & Jamali, F. H., 2004-- Active faults in the Zagros and central Iran, *Tectonophysics*, 380, 221 – 241.
- Baker, C., Jackson,J. & Priestley, K. ,1993- Earthquakes on the Kazerun line in the Zagros Mountains of Iran: Strike-slip faulting within a fold-and-thrust belt, *Geophys. J. Int.*, 115, 41 – 61.



- Bellier, O. & Zoback, M., 1995- Recent state of stress change in the Walker Lane zone, western Basin and Range province, United States, Tectonics, 14, 564 – 593.
- Berberian, M., 1995- Master blind thrust faults hidden under the Zagros folds : active basement tectonics and surface morphotectonic, Tectonophysics, 241, 193-224.
- Berberian, M. & King, G. C. P., 1981-Towards a paleogeography and tectonic evolution of Iran, Can. J. Earth Sci., 18, 210 – 285.
- Blanc, E. J.-P., Allen, M. B., Inger, S. & Hassani , H., 2003- Structural styles in the Zagros Simple Folded Zone, Iran, J. Geol. Soc. London, 160, 401 – 412.
- Carey, E., 1979- Recherche des directions principales de contraintes associe'es au jeu d'une population de failles, Rev. Geol. Dyn. Geogr. Phys., 21, 57 – 66.
- Jackson, J. A. & McKenzie, D. P., 1988- The relationship between plate motion and seismic moment tensors, and the rates of active deformation in the Mediterranean and Middle East, Geophys. J. R. Astron. Soc., 93, 45 – 73.
- McQuarrie, N., Stock, J. M., Verdel, C. & Wernicke, B. P., 2003- Cenozoic evolution of Neotethys and implications for the causes of plate motions, Geophys. Res. Lett., 30(20), 2036, doi:10.1029/2003GL017992.
- Mercier, J., L., Carey-Gailhardis, E. & Se'brier, M., 1991- Paleostress determinations from fault kinematics: Application to the Neotectonics of the Himalayas-Tibet and the central Andes, Philos. Trans. R. Soc. London, 337, 41 – 52.
- Molinaro, M., Guezou, P. J. C., Frizon de Lamotte, D. & Eshraghi , S. A., 2005a- The structure and kinematics of the south-eastern Zagros foldthrust belt, Iran: From thin-skinned to thick-skinned tectonics, Tectonics, 24, TC3007, doi:10.1029/2004TC001633.
- Molinaro, M., Zeyen, H. & Laurencin , X., 2005b- Lithospheric structure underneath the south-eastern Zagros Mountains, Iran: Recent slab break-off?, Terra Nova, 17, 1–6. ntinental tectonics in aftermath of plate tectonics, Nature, 335, 131-137, 1988.
- Navabpour, P., Angelier, J., Barrier ,E., 2007- Cenozoic post-collisional brittle tectonic history and stress reorientation in the High Zagros Belt (Iran, Fars Province), Tectonophysics, 432, 101–131
- Reilinger, R. et al., 2006- GPS constraints on continental deformation in the Africa-Arabia-Eurasia continental collision zone and implications for the dynamics of plate interactions Journal of Geophysical Research, VOL. 111, B05411, doi:10.1029/2005JB004051.
- Sepehr, M. & Cosgrove , J. W., 2005- Role of the Kazerun Fault zone in the formation and deformation of the Zagros Fold-Thrust Belt, Iran, Tectonics, 24, TC5005, doi:10.1029/2004TC001725.
- Stoneley, R., 1981- The geology of the Kuh-e Dalneshin area of southern Iran, and its bearing on the evolution southern Tethys, J. R. Soc. London, 138, 509 – 526.
- Talebian, M. & Jackson, J., 2004 - A reappraisal of earthquake focal mechanisms and active shortening in the Zagros Mountains of Iran, Geophys. J. Int., 156, 506 – 526.
- Talebian, M. & Jackson, J., 2002- Offset on the Main Recent Fault of the NW Iran and implications for the late Cenozoic tectonics of the Arabia Eurasia collision zone, Geophys. J. Int., 150, 422 – 439.
- Tatar, M., Hatzfeld, D., Martinod, J. Walpersdorf, A., Ghafori-Ashtiani, M. & Chéry, J., 2002- The present-day deformation of the central Zagros from GPS measurements, Geophys. Res. Lett., 29(19), 1927, doi:10.1029/2002GL015427.



- Tchalenko, J. S. & Braud , J., 1974 - Seismicity and structure of Zagros (Iran): The Main Recent Fault between 33° N and 35° N, Philos. Trans. R. Soc. London, 277, 1 – 25.
- Vernant, P., et al., 2004- Contemporary crustal deformation and plate kinematics in Middle East constrained by GPS measurements in Iran and northern Oman, Geophys. J. Int., 157, 381 – 398
- Walpersdorf, A., Hatzfeld, D., Nankali, H., Tavakoli, F., Nilforoushan, F., Tatar, M., Vernant, P., Chéry J. & F. Masson, 2006- Difference in the GPS deformation pattern of North and Central Zagros (Iran), Geophysical Journal International, in press.
- Westaway, R., 1994- Present-day kinematics of the Middle East and easter Mediterranean, J. Geophys. Res., 99, 12,071 – 12,090.
- Yamini-Fard, F., Hatzfeld, D., Tatar, M. & Mokhtari, M., 2006- Microseismicity on the Kazerun fault system (Iran): Evidence of a strike-slip shear zone and a thick crust, Geophys. J. Int., in press.